

مدل‌سازی کاهش تراوایی سازند در اثر رسوب آسفالتین با رویکردی بر نظریه‌های فیلتراسیون

آرش ربانی* و محمدحسین غضنفری

دانشکده مهندسی شیمی و نفت، دانشگاه صنعتی شریف، تهران، ایران

تاریخ دریافت: ۹۲/۱۱/۱ تاریخ پذیرش: ۹۳/۸/۳۰

چکیده

اگرچه تاکنون مدل‌های بسیاری برای پیش‌بینی افت تراوایی در اثر تشکیل رسوب ذرات آسفالتین در سازند ارائه شده‌اند، مدل‌سازی حاضر، با رویکردی جدید نسبت به تحقیقات قبلی و به صورت نسبتاً تحلیلی به بررسی اثرات هیدرودینامیکی حضور رسوب آسفالتین در سازند خواهد پرداخت. در این پژوهش، برای یافتن میزان کاهش تراوایی مغزه در اثر رسوب آسفالتین، از تغییرات شعاع هیدرولیک محیط متخلخل استفاده می‌شود. ایده اصلی در مدل‌سازی حاضر این گونه بیان می‌شود که با رسوب کردن ذرات درون سازند، علاوه بر آن که فضای خالی در دسترس سیال برای حرکت کاهش پیدا می‌کند، مقداری از پتانسیل جریان سیال هنگام عبور از لابه‌لای ذرات رسوب کرده به علت نیروی درگ کاسته می‌شود. این کاهش پتانسیل جریانی به کم شدن تراوایی سازند می‌انجامد. در این پژوهش، با استفاده از داده‌های به دست آمده از تغییر توزیع نسبی شعاع ذرات با گذر زمان و با این فرض که این توزیع در داخل و خارج محیط متخلخل یکسان است، اعدادی برای کاهش تراوایی به دست آمدند که با نتایج حاصل در مقالات موجود مطابقت می‌کرد. مدل‌سازی با استفاده از نرم‌افزار MATLAB انجام و برنامه‌ای برای محاسبه تغییر نسبی تراوایی بعد از تحریب سازند نوشته شد. از امتیازات این روش این است که نسبتاً تحلیلی است و در آن از تقریب‌های عددی استفاده نشده است. این نکته باعث انعطاف‌پذیری بیشتر مدل در حل مسائل گوناگون تحریب سازندی می‌شود. علاوه بر آن، این مدل دینامیک می‌تواند با معلوم بودن تابعیت تغییرات توزیع شعاع ذرات رسوب با زمان، پیشرفت فرآیند رسوب‌گذاری را پیش‌بینی کند.

کلمات کلیدی: آسیب سازند، توزیع فراوانی نسبی شعاع ذرات، شعاع هیدرولیک سازند، تراوایی نسبی، فیلتراسیون.

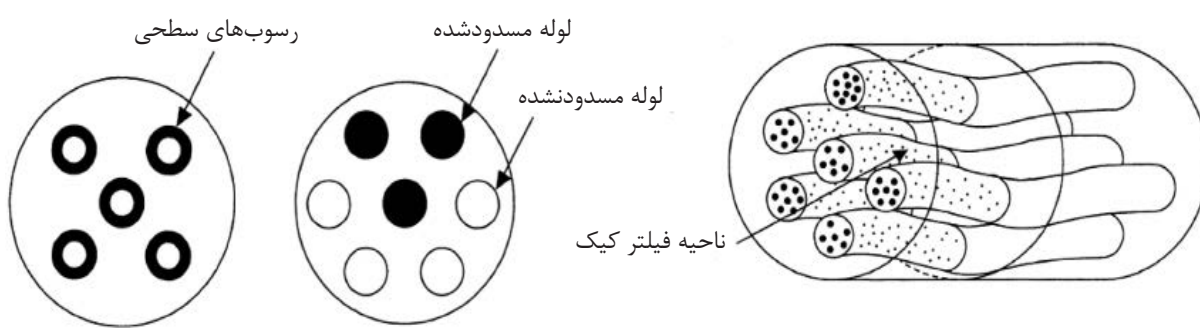
مطرح‌تر در این زمینه است. این مدل مکانیزم‌های متنوعی را برای محاسبه کاهش تراوایی ارائه می‌دهد و در واقع با معرفی سه ضریب برای بسته شدن منافذ، افزایش ضخامت لایه‌های رسوب و مکانیزم رسوب‌گذاری جابه‌جایی و کاهش تراوایی را پیش‌بینی می‌کند. در این روش، در اکثر مواقع ضریب مکانیزم رسوب‌گذاری جابه‌جایی را صفر در نظر می‌گیرند^[۵]، در حالی که انسداد گلوگاهی و رسوب‌گذاری سطحی دو سازوکار اصلی هستند که در پژوهش حاضر نیز به آنها پرداخته شده است.

علاوه بر سیوان، یکی دیگر از مدل‌های رایج در این زمینه مدل علی و اسلام است^[۶]. در این مدل فرض شده است که حفرات در محیط متخلخل به دو نوع قابل انسداد و غیرقابل انسداد تقسیم می‌شوند. حفرات قابل انسداد شامل تخلخل‌های کوچکتراند که در اثر رسوب آسفالتین می‌توانند کاملاً بسته شوند و حفرات غیرقابل انسداد آنهایی هستند که هیچ گاه کاملاً بسته نمی‌شوند، زیرا وقتی رسوب تشکیل شد و قطر حفره کاهش یافت، پیش از مسدود شدن کامل حفره، به علت افزایش سرعت جریان سیال مقداری از رسوبات کنده و توسط سیال حمل می‌شود. این مدل که براساس موازنۀ جرم توسعه یافته است شرایط جذب سطحی آسفالتین را نیز هم‌دما در نظر می‌گیرد.

مقدمه

با توجه به تحقیقات و مدل‌سازی‌هایی که تاکنون روی سازند تخریب‌شده انجام شده‌اند، شبیه‌سازی محیط متخلخل با استفاده از دسته لوله متداول بوده است. آن چه در پژوهش حاضر ارائه شده ترکیبی از مدل‌های رسوب‌گذاری آسفالتین و تئوری‌های فیلتراسیون است. نکته نوین این پژوهش وابسته کردن میزان تخریب سازند به پارامتر مهمی چون توزیع فراوانی نسبی اندازه ذرات آسفالتین است که با استفاده از میکروسکوپ کاففوکال^[۱] و یا با استفاده از مدل‌های ترمودینامیکی^[۲] در دسترس است.

به منظور مدل‌سازی رسوب‌گذاری آسفالتین، گروسبک و کالینز^[۳] محیط متخلخل را به شکل دسته لوله^۴ موازی در نظر گرفتند که در اثر رسوب برخی از لوله‌ها مسدود خواهند شد. آن گاه با توجه به این فرض، تراوایی هر یک از مسیرهای مسدودشده را درون محیط متخلخل به دست آوردن و تراوایی کل محیط را با دانستن تراوایی تمام کانال‌های باز و نحوه ارتباط آنها با یکدیگر تخمین زندند. فوگلر و خیلار^[۴] محیط متخلخل یک مغزه را به برش‌های مساوی تقسیم کردند و سیال را به درون این برش‌ها فرستادند و تعداد ذرات به جامانده از هر مرحله را تخمین زندند و آن گاه به بررسی کاهش تراوایی در اثر این رسوب‌گذاری پرداختند. مدل سیوان^۵ نیز از مدل‌های جدیدتر و



شکل ۱ انواع آسیب سازندی آسفالتین در مدل سیوان^[۵].

1. Confocal Microscope

2. Gruesbek and Collins

3. Bundle of tubes

4. Fogler and Khilar

5. Civan

می‌توانند مقعر یا تقریباً صاف باشند. توزیع گاما با توجه به انعطاف‌پذیری و انطباق‌پذیری بالا در این پژوهش استفاده شده است [۸]. در تابع گاما از دو پارامتر اصلی برای توضیح خواص توزیع استفاده می‌شود. این دو عدد به میانگین و انحراف معیار استاندارد داده‌ها مربوط می‌شوند. این توزیع را می‌توان به صورت زیر بیان کرد:

$$f(x) = \frac{x^{\alpha-1} e^{-x/\beta}}{\beta^\alpha \Gamma(\alpha)} \quad (1)$$

$$\sigma^2 = \alpha\beta^2 \quad (2)$$

$$\mu = \alpha\beta \quad (3)$$

که μ میانگین داده‌ها و σ انحراف معیار استاندارد داده‌های است. درباره تابع گاما نیز می‌توان گفت:

$$\Gamma(\alpha) = \int_0^{\infty} t^{\alpha-1} e^{-t} dt \quad (4)$$

هرچند نمی‌توان برای هر یک از این دو پارامتر آلفا و بتا نقشی کاملاً متفاوت قائل شد، پارامتر آلفا به نوعی بر مکان نقطه ماکزیمم دلالت دارد. در مقابل بتا را می‌توان معرف شکل کلی نمودار و میزان تغیر یال‌های توزیع دانست.

تئوری‌های فیلتراسیون^۱

فیلتر کردن و پاکسازی یک سیال از ذرات ریزتر موجود در آن پیشینه‌ای طولانی دارد. اولین سیالی که در فیلترها و صافی‌ها روان شد آب بود. آب رودخانه‌ها برای این که مناسب نوشیدن شود، باید از میان صافی‌هایی معروف به صافی‌های شنی گذر می‌کرد. صافی شنی در حقیقت چیزی جز یک بستر متراکم از خردسنج‌ها نیست که به دلیل چیدمان خاص می‌تواند به جداسازی ذرات معلق درون آب کمک کند. صافی شنی از چند لایه بستر خردسنجی با دانه‌بندی متفاوت تشکیل شده است. با توجه به جهت جريان سیال، دانه‌ها به تدریج ریز می‌شوند. ابتدا ذرات درشت‌تر و سپس ذرات ریزتر معلق درون آب به دام صافی می‌افتد. گذشتگان ما با این که از قوانین حاکم بر صافی‌ها، فیلترها و تئوری‌های فیلتراسیون

در ادامه لئونتاریتیس مدلی تحلیلی ارائه داد که رسوب ذرات آسفالتین را به صورت بنیادی تر توضیح می‌داد [۷]. وی با ایجاد یک مدل ترمودینامیکی که می‌توانست اندازه متوسطی برای شعاع ذرات آسفالتین در زمان‌های مختلف محاسبه کند، فرض کرد که ذراتی با شعاع بزرگ‌تر از یک سوم شعاع حفره در آن به دام خواهند افتاد و بدین ترتیب توانست یک مدل استوانه‌ای را برای ناحیه اطراف چاه توسعه دهد که در آن، با در نظر گرفتن المان‌هایی به صورت پوسته‌های استوانه‌ای، میزان تخریب سازندی در هر فاصله معین از چاه به دست می‌آمد. نتیجه این کار ایجاد یک مدل بود که به دلیل لخته شدن و به هم پیوستن مستمر ذرات آسفالتین تابعی از زمان نیز بود.

در پژوهش حاضر، ابتدا با استفاده از مدل دسته‌لوله موازی به معادل سازی محیط متخلخل پرداخته شده و سپس با معلوم بودن توزیع نسبی شعاع ذرات آسفالتین و تئوری‌های فیلتراسیون، درباره احتمال گیر افتادن ذرات رسوب‌کرده درون حفرات بحث شده است. با تعیین احتمال گیر افتادن این ذرات و مقطع‌بندی محیط متخلخل، می‌توان به طور تقریبی تعداد حفره‌های مسدودشده را در هر مقطع از سنگ به دست آورد و با محاسبه افت فشار سیال در اثر عبور از حفرات باقی‌مانده، تراوایی مجموعه مقاطع را محاسبه کرد.

توزیع نسبی شعاع ذرات آسفالتین

در مدل حاضر برای آن که بتوان مقدار کاهش تراوایی در اثر رسوب آسفالتین را تخمین زد، به دانستن توزیع نسبی شعاع ذرات آسفالتین نیاز است. توزیع نسبی پیشنهادشده برای مطالعه رفتار سینتیکی تشکیل رسوب آسفالتین اغلب توزیع گاما بوده است [۷].

این توزیع شباهت‌هایی به توزیع لگاریتمی نرمال دارد، با این تفاوت که دارای نقطه بیشینه‌ای متمایل به یکی از یال‌های است. دو شاخه جانبی این نمودار

¹ Filtration Theories

است که ذرات با قطر کمتر از یک‌سوم قطر حفرات می‌توانند از محیط بگریزند و در واقع بقیه ذرات یا اصلاً وارد نشده‌اند، یا درون محیط به دام افتاده‌اند.

حالت سوم: حمل شدن ذرات ریز

همان طور که بحث شد، ذرات بسیار کوچک از محیط ما خواهند گریخت و به لایه‌های بعدی محیط متخلخل خواهند رفت. در صورتی که در لایه‌های بعدی منافذ کوچک‌تر و گلوگاه‌های تنگ‌تری یافت شوند، ذره در آن جا به دام می‌افتد، و گرنه باز هم خواهد گریخت تا این که همراه با سیال نفتی به تولید برسد [۱۱].

این نکته قابل تأمل است که نمی‌توان به طور قطع گفت که ذره با شعاع مشخص از محیط خواهد گریخت؛ بلکه سخن تنها بر سر احتمال گریختن است که حدوداً برای ذراتی با شعاع کمتر از یک‌سوم شعاع تنگ‌ترین حفره بیش از ۰٪ است. طبیعی است که در صورت وجود جاذبه الکترواستاتیک میان ذره و محیط احتمال جذب بسیار بالا می‌رود. شکل ۲ به ترتیب سه مکانیزم بحث شده از برهم‌کش ذرات معلق و محیط فیلتر را نشان می‌دهد.

در بسیاری از شبیه‌سازی‌های بافت متخلخل از فرضیه‌ای با عنوان دسته لوله استفاده شده است. در این فرضیه حفره‌های موثر درون سنگ را با دسته‌ای از لوله‌های مویین تقریب می‌زنند. نکته‌ای که برای نزدیک کردن مسئله به واقعیت می‌توان مطرح کرد این است که طول لوله صاف و بدون پیچ و خم در نظر گرفته نشود. برای وارد کردن این نکته می‌توان از پارامتر تورچوواسیتی^۱ بهره گرفت. لانفری و همکارانش [۱۲] مدلی هندسی را برای پیدا کردن تورچوواسیتی کانال‌های درون سنگ مطرح کردند که براساس محاسبات هندسی در یک محیط متخلخل با دانه‌بندی کروی تصادفی بنا شده است.

اطلاعی نداشتند، به تجربه دریافت‌هه بودند: «احتمال جذب یک ذره توسط محیط متخلخل با ریزتر شدن اندازه منافذ عبور سیال بیشتر می‌شود» [۹].

به زبان دیگر می‌توان گفت با کوچکتر شدن ذرات معلق، به منظور به دام انداختن آنها باید اندازه منافذ را کوچک‌تر کرد. کوچک شدن اندازه منافذ بستر متخلخل با اندازه ذرات بستر رابطه مستقیم دارد. یک سیستم از بستر ذرات را در نظر بگیرید؛ با توجه به دانه‌بندی ذرات، این سیستم کنش‌هایی مختلف در مقابل ذرات معلق عبوری خواهد داشت.

ممکن است ذره با توجه به اندازه‌اش حتی نتواند وارد این محیط شود. یعنی مانند آنچه در صافی شنی تصفیه آب رخ می‌داد، ذرات در مراحل اولیه که احتمالاً دانه‌بندی درشت است باقی بمانند و وارد قسمت‌های با منافذ ریز نشوند. در این جا سه حالت ممکن برای برهم‌کنش محیط و ذرات معلق توضیح داده خواهند شد:

حالت اول: انباشتگی^۲ ذرات بزرگ در ورودی محیط

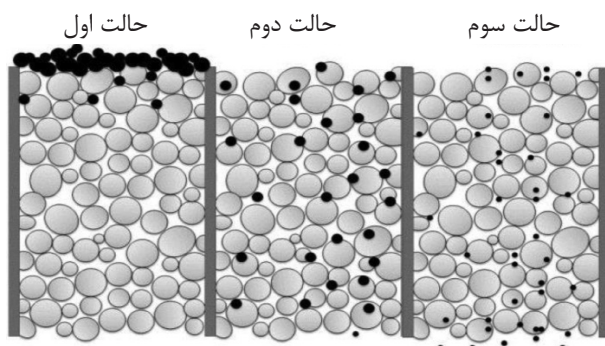
در این حالت شعاع ذرات معلق مساوی یا بزرگ‌تر از شعاع منافذ است و به هیچ صورت نفوذ آنها درون محیط متخلخل می‌سر نیست. وقتی می‌گوییم ذرات در ورودی محیط انباشته می‌شوند، منظور این است که در این حالت ذره آسفالتین بلافاصله پس از تشکیل انباشته می‌شود و به همراه سیال به نواحی بعدی منتقل نخواهد شد [۱۰]

حالت دوم: رسوب‌گذاری ذرات درون محیط

وقتی اندازه ذرات از حد معینی کوچک‌تر باشد، ذرات می‌توانند وارد محیط متخلخل شوند. سپس ممکن است از محیط عبور کنند و از آن خارج شوند و یا در درون آن به دام بیفتدند.

این نکته که ذرات با قابلیت عبور از درون محیط باید از چه شعاعی کوچک‌تر باشند تا احتمال گیر افتادن آنها نزدیک به ۱۰۰٪ نباشد، مطلبی است که محققان بارها درباره آن بحث کرده‌اند. آن چه به صورت یک قانون سرانگشتی مطرح می‌شود این

1. Size Exclusion
2. Tortuosity



شکل ۲ سه مکانیزم ممکن برهم‌کنش ذرات معلق و محیط متخلخل فیلتر.

داخلی دیواره لوله‌ها باید برابر با مساحت فضای داخلی محیط متخلخل باشد. در این صورت با حل معادلات فوق بر حسب شعاع و تعداد دسته‌لوله‌ها:

$$r_p = 2\tau \sqrt{\frac{2k}{\varphi}} \quad (6)$$

$$n_p = \frac{8k \cdot \tau \cdot A}{\pi r_p^2} \quad (7)$$

که در آن φ تخلخل، A سطح مقطع محیط متخلخل، L طول محیط متخلخل، k تراوایی محیط، n_p تعداد لوله‌ها و r_p شعاع لوله‌هاست.

در این قدم، با تکیه بر مفهوم شعاع هیدرولیک مدل دسته‌لوله برای محیط متخلخل آماده شده است. شعاع هیدرولیک پارامتری است که برای محاسبه شعاع موثر جریان در مقاطع غیردایرها و پیچیده به کار می‌رود. برای محاسبه شعاع هیدرولیک یک مقطع، کافی است مساحت آن را با اعمال ضریبی بر محیط آن یا، در فضای متخلخل، حجم ترشده را به مساحت ترشده محیط تقسیم کنیم.

مدل‌سازی آسیب سازند

تشکیل ذرات جامد آسفالتین و به دام افتادن فیزیکی آنها درون سازند می‌دانیم ذرات جامد آسفالتین در نفت وجود دارند، اما به دلایلی مانند تزریق گاز، آلкан یا افت

مقدار عدد ثابت در رابطه زیر که آنها ارائه کرده‌اند، براساس محاسبات عددی انجام شده بر تعداد زیادی نمونه‌های تصادفی از سنگ‌های مصنوعی به دست آمده است. این رابطه تابعی از تخلخل و میزان گردش‌گی^۲ دانه‌های سنگ است.

$$\tau = 0.84 \left(3 \frac{\sqrt{\pi}}{4} \right)^{4/3} \cdot \frac{(1-\varphi)^{4/3}}{\varphi S^2} \quad (5)$$

که در آن φ تخلخل و S میزان گردش‌گی متوسط دانه‌های سنگ است. هر چه کرویت یا گردش‌گی دانه‌های سنگ بیشتر باشد، شکل آن به گره نزدیک‌تر است. تورچواسیتی نسبت میان طول مستقیم لوله موبین و طول خمیده آن را بیان می‌کند که همواره مقداری بزرگ‌تر از یک است. با استفاده از رابطه (۵) می‌توان تخمینی از نسبت تورچواسیتی حفرات یک محیط متخلخل به دست آورد.

در قدم بعدی برای معادل‌سازی دسته لوله مؤین، اندازه شعاع هر کدام از این لوله‌ها و تعداد آنها باید مشخص شود. بدین منظور با توجه به تخلخل و تراوایی محیط متخلخل می‌توان دسته‌لوله‌ای را تخمین زد که خواص هیدرولیکی تقریباً مشابه با محیط متخلخل داشته باشد [۱۳]. دو معادله اصلی که برای پیدا کردن شعاع و تعداد دسته‌لوله‌ها باید حل شوند، از این قرارند:

- ۱- حجم فضای خالی درون دسته‌لوله باید برابر با حجم فضای خالی درون سنگ باشد و
- ۲- مساحت

است. مقدار گرادیان فشار لازم برای معلق نگه داشتن ذرات جامد در یک محیط مایع از رابطه زیر به دست می‌آید:

$$\frac{\Delta p}{L} = g(1 - \varepsilon_a)(\rho_a - \rho_f) \quad (10)$$

که در آن ρ_f چگالی سیال، ρ_a چگالی ذرات، g شتاب گرانش، L طول لوله موبیین، Δp اختلاف فشار دو سر لوله و ε_a مقدار تخلخل ایجادشده بین ذرات آسفالتین در زمانی است که روی هم انباشته می‌شوند. این مقدار در مقالات معمولاً $\frac{1}{4}$ ذکر شده است [۱۵]. برای تامین حداقل سرعت سیال‌سازی ذرات باید افت فشار اصطکاکی سیال بعد از عبور از اطراف ذرات حداقل برابر با فشار لازم برای تامین نیروی وزن ذرات باشد. رابطه ارگان [۱۶] به منظور محاسبه افت فشار در یک سیستم متخلخل برابر است با:

$$\frac{\Delta p}{L} = \frac{150\mu v}{\bar{x}^2} \frac{(1 - \varepsilon_a)^2}{\varepsilon_a^3} + \frac{1.75 \rho_f (1 - \varepsilon_a)}{\bar{x} \varepsilon_a^3} \quad (11)$$

که در آن μ گرانروی سیال، ρ_f چگالی سیال، x اندازه متوسط ذرات آسفالتین، v سرعت حرکت سیال، L طول حفره یا لوله و Δp اختلاف فشار دو سر لوله است. ε_a مقدار تخلخل ایجادشده بین ذرات آسفالتین در زمانی است که روی هم انباشته می‌شوند. حال با برابر گرفتن روابط (۱۰) و (۱۱) مقدار v در رابطه (۱۱)، که در اینجا معادل همان v^* خواهد بود، به دست می‌آید:

$$v^* = \frac{g(\rho_a - \rho_f)}{150\mu} \frac{\varepsilon_a^3}{(1 - \varepsilon_a)} \bar{x}^2 \quad (12)$$

با به دست آمدن این مقدار می‌توان مقدار تابع $P(x)$ را به ازای اندازه هر ذره خاص به دست آورد. اگر با انجام آزمایش، مقدار تابع $f(x)$ ، که توزیع فراوانی نسبی ذرات آسفالتین را نشان می‌دهد، در دست باشد، می‌توان توزیع فراوانی نسبی ذرات به دام افتاده در محیط را از حاصل ضرب این دو تابع پیدا کرد:

$$f(x) = f(x) \cdot P(x) \quad (13)$$

نمودار شکل ۳ توزیع فراوانی نسبی ذرات تشکیل شده و

فشار، تعادل ترمودینامیکی و کلوییدی خود را از دست می‌دهند و رسوب می‌کنند. این ذرات، پس از تشکیل، در حفرات گیر می‌کنند و در نتیجه، با بستن حفره‌ها، راه عبور سیال را مسدود می‌کنند و تراوایی سازند را کاهش می‌دهند. هر نمونه نفتی، در هر زمان از رسوب‌گذاری خود، الگوی متفاوتی از ذرات را تهنشین می‌کند. این الگو را می‌توان با دانستن توزیع فراوانی نسبی شعاع ذرات بیان کرد. نکته حائز اهمیت در این قسمت توجه به این موضوع است که ذرات جامدی که از سیال جدا می‌شوند، بلا فاصله در همان مکان انباشته نمی‌شوند و تا زمان به دام افتادن توسط سیال حمل می‌شوند [۱۴]. احتمال جذب یک ذره در دیواره کanal استوانه‌ای را، براساس آن چه در مقالات آمده، می‌توان این گونه بیان کرد [۹]:

$$P(x) = 4 \left[\left(\frac{\theta \cdot x}{r_p} \right)^2 - \left(\frac{\theta \cdot x}{r_p} \right)^3 \right] + \left(\frac{\theta \cdot x}{r_p} \right)^4 \quad (8)$$

که در آن (x) تابع احتمال جذب ذره، x شعاع ذره و r_p شعاع حفره است. θ ضریبی برای بیان احتمال جذب ذره است. θ را می‌توان به صورت زیر نشان داد [۱۴]:

$$\theta = \theta_0 e^{-(v/v^*)} \quad (9)$$

که در آن v سرعت حرکت سیال، v^* سرعت بحرانی برای سیال‌سازی¹ ذرات و θ_0 ضریبی تجربی است که نمایانگر میزان جاذبه الکترواستاتیک بین ذره و دیواره و نیروهای لاندون است [۱۴]. در ابتدا برای سادگی کار می‌توان θ_0 را یک در نظر گرفت و در حقیقت از بار الکتریکی ذرات آسفالتین چشمپوشی کرد. در غیر این صورت می‌توان این پارامتر را با انجام آزمایش تخمین زد. ریج و فوگل² آزمایش‌هایی را برای یافتن این پارامتر طراحی کرده‌اند [۱۴]. در مدل‌سازی حاضر این پارامتر یک فرض شده است. v^* یک سرعت بحرانی است که اگر سیال از آن آهسته‌تر حرکت کند، نخواهد توانست ذرات جامد را حمل کند [۱۵]. مقدار این سرعت به طور مستقیم تابعی از تفاصل چگالی ذرات جامد و سیال

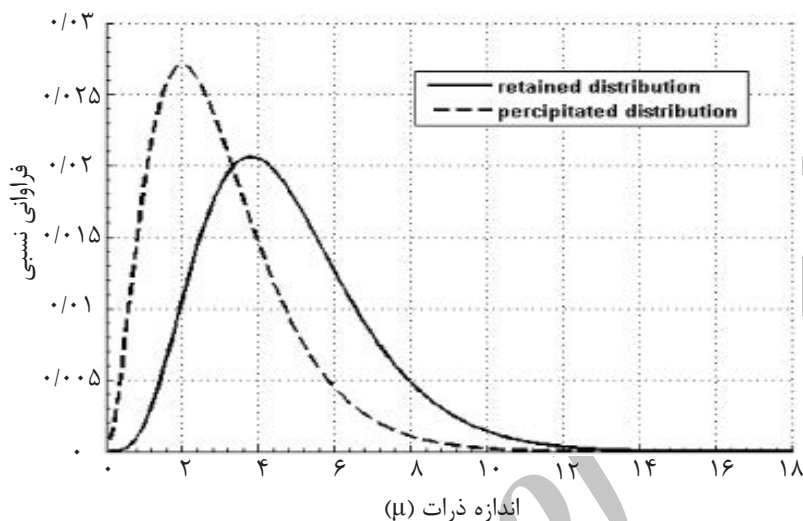
1. Fluidization

2. Rege & Fogler

3. Ergun

توزیع گاما رسم شده است، میانگین اندازه ذرات جامد تشكیل شده μ_1 و انحراف معیار استاندارد آن σ_1 بوده، در حالی که میانگین اندازه ذرات گیرافتاده درون محیط μ_2 و انحراف معیار استاندارد آن σ_2 است.

توزیع فراوانی نسبی ذرات به جامانده درون یک مقطع از یک مغزهٔ فرضی را نشان می‌دهد. همان طور که دیده می‌شود، ذره‌های با شعاع نسبی بزرگتر در محیط به دام افتاده و ذره‌های کوچکتر گریخته‌اند. در این شکل نمادین که با استفاده از



شکل ۳ مقایسهٔ توزیع نسبی ذرات به‌دام افتاده در محیط متخلخل و ذرات فرارکرد.

اتفاق، علاوه بر بیشتر کردن مساحت محیط ترشد، از حجم مفید کاتال می‌کاهد و با توجه به تعریف شعاع هیدرولیک، با کم شدن صورت و زیاد شدن مخرج کسر، هر دو عامل در کم شدن تراوایی سازند با هم همکاری می‌کنند. همان طور که می‌دانیم ذرات آسفالتین در حقیقت کروی نیستند، اما در این جا چنین فرض می‌شود تا معادل‌سازی آسان شود. برای کمی کردن این مسئله، ابتدا باید بدانیم که چه ذراتی و با چه اندازه‌هایی درون سازند رسوب کرده‌اند. علاوه بر دانستن جرم آنها، اگر توزیع فراوانی نسبی اندازه آنها را بدانیم، می‌توانیم با کروی در نظر گرفتن شان، حجم کم شده از فضای خالی سنگ و مساحت اضافه شده به آن را حساب کنیم. برای محاسبه این دو مقدار داریم:

$$A_a = n_a \int_0^\infty f_t(x) \cdot 4\pi x^2 \cdot \gamma \cdot dx \quad (14)$$

$$V_a = \frac{m_a}{\rho_a} \quad (15)$$

بررسی مقدار کاهش تراوایی با رسوب‌گذاری آسفالتین

mekanizm‌هایی مختلف در مدل‌سازی رسوب‌گذاری آسفالتین پیشنهاد شده‌اند. در پژوهش حاضر سه مکانیزم برای مدل‌سازی تحلیلی رسوب‌گذاری آسفالتین در نظر گرفته شده‌اند: رسوب‌گذاری سطحی در دیوارهٔ حفرات، مسدود کردن کامل یک حفره و حمل مجدد ذرات آسفالتین در اثر افزایش نیروی اصطکاک سیال.

با پیشرفت رسوب‌گذاری سطحی، علاوه بر کم شدن فضای دردسترس برای حرکت سیال، با حضور ذرات درون سازند به دلیل وارد شدن نیروی تنش سطحی توسط سیال به آنها، از پتانسیل حرکتی سیال کاسته می‌شود و در نتیجه به دلیل افت فشار، سیال از حرکت باز می‌ماند. به زبان دیگر، می‌توان مسئله را این گونه مطرح کرد که با ادامه رسوب‌گذاری و جذب ذرات توسط دیواره، شعاع هیدرولیک سازند کاهش می‌یابد، زیرا این

فرضی و براساس رابطه هاگن پوازیه می‌توان تراوایی کل سازند را در حالت آسیب‌دیده محاسبه کرد [۱۷]:

$$\tilde{k} = \frac{\tilde{n}_p \cdot \pi \cdot \tilde{r}_p^4}{8 \cdot \tau \cdot A} \quad (20)$$

به منظور افزایش دقت مدل‌سازی فوق، در نظر گرفتن برش‌ها و مقاطعی برای محیط متخلخل لازم است. در واقع می‌توان گفت تمام آن چه در باب مدل‌سازی رسوب‌گذاری مطرح شد، مربوط به یک مقطع از محیط متخلخل خواهد بود. برای هر کدام از این مقاطع باید تمام محاسبات قسمت‌های قبل را انجام داد، با این تفاوت که ذرات ورودی هر مقطع از فیلتر مقاطع قبلی عبور کرده‌اند و مقدار ذره‌های درشت‌تر آن کاهش یافته است.

در مقابل، عامل دیگری برای بزرگ کردن اندازه ذرات وجود دارد: رشد تدریجی اندازه توده‌های آسفالتین با گذر زمان؛ لذا در این جا مجبوریم مسئله زمان را نیز در محاسبات دخیل کنیم. خوشبختانه براساس نتایج آزمایش‌های نجفی و همکارانش [۱۱]، تابعیت تغییر توزیع ذرات آسفالتین با گذر زمان موجود است. در این جا برای حل مسئله فرض می‌کنیم که خروجی هر مقطع ورودی مقطع بعدی است. مقطع زدن فرضی در بافت متخلخل مزیتی دارد: کم شدن تراوایی یک مقطع بر تراوایی مقطع بعدی اثر می‌گذارد و این همان چیزی است که با مسدود شدن لوله‌های یک مقطع خود را نشان می‌دهد؛ یعنی قسمتی از سطح یک مقطع در اثر رسوب از دست می‌رود، اما همان مکان در مقطع بعدی ممکن است برای جریان یافتن سیال استفاده شود. طبیعی است هر چه تعداد مقاطع بیشتر باشد، کار دقیق‌تر است؛ اما در این جا به دلیل افزایش مضاعف حجم محاسبات، به ۴ مقطع برای مغزه $13/8 \text{ cm}$ اکتفا شده است. سرعت تزریق هم‌زمان مخلوط نفت و آلکان نیز در تمام آزمایش‌ها یک سانتی‌متر مکعب بر ثانیه بوده است. مشخصات سنگ و سیال در پژوهش حاضر از این قرارند [۱۸]:

که A_a مساحت افزوده شده توسط ذرات، V_a حجم افزوده شده، $(x)_f$ توزیع فراوانی نسبی ذراتی که در سازند به دام افتاده‌اند، x شعاع ذره یا توده، n_a تعداد کل ذرات یا توده‌ها، m_a جرم کل آسفالتین موجود، ρ_a چگالی آسفالتین را سبب شده و γ ضریبی برای اصلاح سطح موثر افزوده شده به درون حفره‌ها به‌ازای هر ذره است که در این جا یک فرض شده است. در واقع برای سادگی کار، افزایش مساحت ترشده درون سنگ را به اندازه مساحت همان ذره فرض می‌کنیم. حال برای حل معادلات فوق، باید تعداد توده‌ها یا ذرات آسفالتین را دانست که بدین منظور، با کروی در نظر گرفتن ذرات و دانستن چگالی آنها، می‌توان نوشت:

$$n_a = \frac{V_a}{\int_0^\infty f_t(x) \cdot \frac{4}{3} \pi x^3 dx} \quad (16)$$

مقدار جدید سطح درون حفره‌های سنگ، پس از رسوب‌گذاری، برابر با مجموع سطح اولیه و سطح افزوده شده توسط ذره‌های آسفالتین است. با عنایت به این نکته و محاسبه حجم متخلخل باقی‌مانده درون سنگ می‌توان برای شعاع هیدرولیک موثر محیط متخلخل در شرایط آسیب‌دیده نوشت:

$$\tilde{r}_H = \frac{n_p \cdot V_p - V_a}{n_p \cdot A_p - A_a} \quad (17)$$

باید دقت کرد که با توجه به تعریف شعاع هیدرولیک که یک‌چهارم قطر هیدرولیک کانال است [۱۵]، برای اندازه شعاع یک حفره در حالت آسیب‌دیده می‌توان نوشت:

$$\tilde{r}_p = 2 \cdot \tilde{r}_H \quad (18)$$

اکنون برای به دست آوردن تعداد لوله‌های فرضی در حالت آسیب‌دیده، از برابر بودن فضای خالی درون لوله‌های موبیس مدل‌سازی شده و فضای خالی درون سنگ استفاده می‌کنیم. برای تعداد لوله‌های

فرضی در حالت آسیب‌دیده می‌توان نوشت:

$$\tilde{n}_p = \frac{A_L \cdot \varepsilon}{\pi \tilde{r}_p^2 \cdot L \cdot \tau} \quad (19)$$

حال با معلوم بودن تعداد و اندازه شعاع لوله‌های

جدول ۱ خواص محیط متخلخل موردمطالعه.

تراویی اولیه	۶۶/۳ (md)
تخلخل اولیه	۰/۱۶
نسبت آب غیرقابل کاهش در داخل سنگ	۰/۲۳۷
کرویت دانه‌ها	۰/۹۱
طول مغزه	۱۳/۸ cm
مساحت مقطعی مغزه	۱۱/۴۶ cm ²

جدول ۲ خواص سیال مورداستفاده.

چگالی نفت در واحد ای پی آی	۱۷/۴۵
سازند نفتی	سروک
درصد جرمی آسفالتین	۱۲/۹۴
چگالی آسفالتین	۱/۲۶ g/cm ³
غلظت حلال	% نرمال پنتان ۵۰

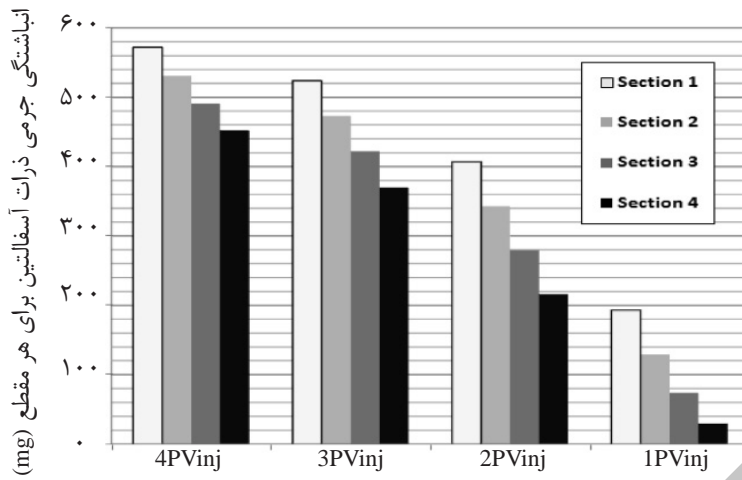
رسوب‌گذاری بقیه ذرات و به دام افتادن آنها آسان‌تر می‌کنند.

نتایج مربوط به نمودارهای شکل‌های ۴ و ۵ با استفاده از مقطع‌بندی فرضی محیط متخلخل و حل کردن معادلات موازنۀ جرم به دست آمده‌اند. مقدار آسفالتین رسوب‌کرده در هر مقطع برابر با تفاضل مقدار آسفالتین ورودی و تولیدشده با مقدار رسوب خروجی و کنده‌شده است. در اینجا مقدار رسوب آسفالتین در چهار مقطع سنگ بعد از تزریق به ترتیب یک تا چهار واحد حجمی (حجم فضای متخلخل سنگ) براساس مدل محاسبه شده است. خواص سنگ و سیال مورداستفاده در شبیه‌سازی در جداول ۱ و ۲ ذکر شده‌اند.

همچنین با معلوم بودن تابع توزیع فراوانی نسبی اندازه ذرات، می‌توان نمودار شکل ۴ را بحسب تعداد ذره‌های انباشته‌شده در هر مقطع رسم کرد. همان طور که در شکل ۵ دیده می‌شود، همواره در مقطع شماره (۱)، که همان مقطع ورودی و ابتدایی سیال تزریقی به درون محیط متخلخل است، بیشترین مقدار انباشتگی ذرات آسفالتین دیده می‌شود.

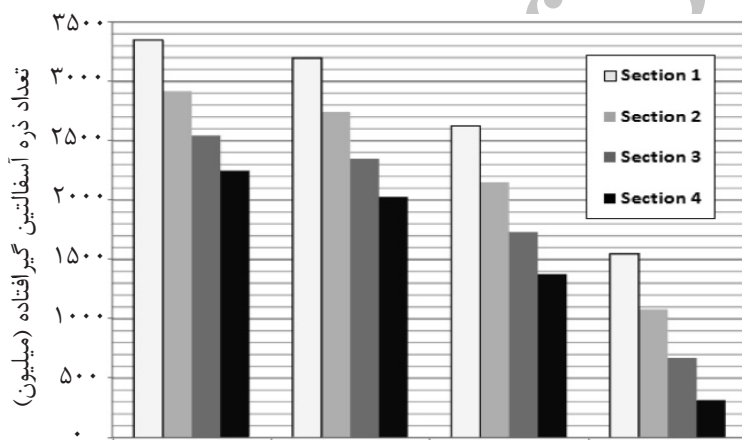
بررسی نتایج بررسی رسوب‌گذاری در مقاطع مختلف

وقتی ذرات آسفالتین در یک محیط رسوب می‌کنند، اندازه حفرات محیط کاهش می‌یابد. این امر خود باعث خواهد شد که ذرات بیشتری به دام بیفتدند. لذا انتظاری که از یک محیط متخلخل داریم این است که در مقاطع اولیه آن انباشتگی بیشتری از ذرات آسفالتین رخ دهد. بدین منظور محیط متخلخل به چهار مقطع تقسیم شد و محاسبات برای آن انجام شدند. نمودار شکل ۴ مقدار جرمی آسفالتین رسوب‌کرده در چهار مقطع را بعد از تزریق مقادیر مختلف سیال (یک، دو، سه و چهار برابر حجم فضای متخلخل) به ترتیب نشان می‌دهد و با استفاده از نتایج مدل‌سازی به دست آمده است. متأسفانه با توجه به نبود سیستم آزمایشگاهی به منظور اندازه‌گیری جرم و تعداد ذرات آسفالتین رسوب‌کرده در هر مقطع، نمی‌توان درباره دقیقت این داده‌ها نظر قطعی داد. آن‌چه از نمودارهای شکل‌های ۴ و ۵ قابل استنتاج است این است که همواره در مقطع‌های ابتدایی مغزه رسوب آسفالتین بیشتری انباشته می‌شود، زیرا رسوب‌های ابتدایی آسفالتین مجراهای را تنگ‌تر و زمینه را برای



میزان حجم تزریقی همزمان حلال و نفت خام (P.V.)

شکل ۴ انباشتگی جرمی ذرات آسفالتین در مقاطع مختلف مغزه بعد از تزریق چهار واحد حجمی سیال نفتی به همراه نرمال پنتان در مدل‌سازی.



میزان حجم تزریقی همزمان حلال و نفت خام (P.V.)

شکل ۵ تعداد میلیون ذره آسفالتین انباشتده در مقاطع مختلف مغزه بعد از تزریق چهار واحد حجمی سیال نفتی به همراه نرمال پنتان در مدل‌سازی.

بر روی مقادیر و ضرایب جاذبه بین ذرات و دیواره انجام شد.

۷ پارامتری است که مقدار سطح افزوده شده به محیط متخلخل را به ازای مساحت یک کره نشان می‌دهد. وقتی گاما بیشتر از یک باشد، به معنی زیاد شدن بیش از حد مساحت درون سیستم است و این باعث کاهش تراوایی خواهد شد. از سوی دیگر ۰_۰ پارامتری است که از طریق آزمایش حاصل می‌شود و نشان‌دهنده احتمال جذب یک ذره منفرد توسط دیواره است.

بررسی تاثیر تغییر پارامترهای توزیع و پارامترهای چسبندگی بر تراوایی سازند آسیبدیده

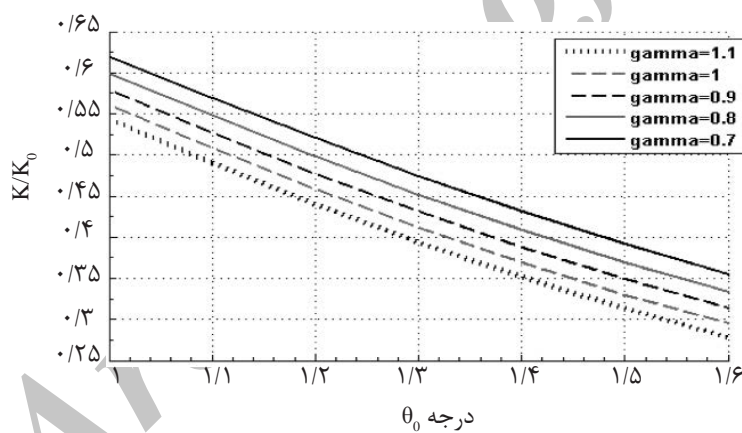
می‌دانیم که چسبندگی ذرات به یکدیگر و به دیواره مستقیماً در پیش‌بینی مقدار تراوایی موثر است. هر چه تمايل ذرات به چسبیدن به یکدیگر بیشتر باشد، توده‌های بزرگتری تشکیل خواهند داد. توده‌های بزرگتر به احتمال زیاد درون سازند به دام می‌افتد و این مسئله به کاهش چشمگیر تراوایی منجر خواهد شد. به منظور بررسی اثر این پارامترها بر کاهش تراوایی، یک حساسیت‌سنجی

بررسی اثر حمل مجدد ذرات آسفالتین

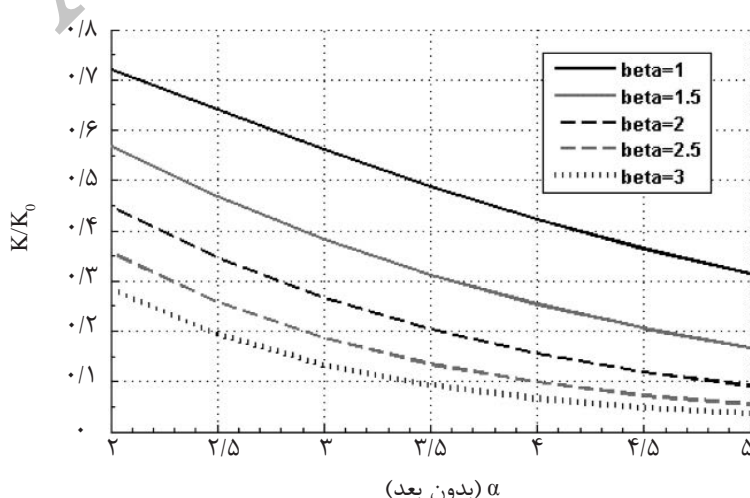
با انجام رسوب‌گذاری در یک سازند، اندازه حفرات آن کاهش می‌یابد. این کاهش اندازه با توجه به ثابت بودن دبی باعث افزایش سرعت حرکت سیال درون حفره خواهد شد. این افزایش سرعت باعث ایجاد یک نیروی اصطکاکی اضافی بر سطح ذرات آسفالتین خواهد شد و در صورت ادامه یافتن این مکانیزم می‌تواند به کنده شدن و حمل مجدد ذره منجر شود. نمودار شکل ۸ مقدار θ_0 ایمنی نسبی یک لوله موبین را با تغییرات نسبت سرعت حرکت سیال درون لوله و سرعت بحرانی حمل ذرات نشان می‌دهد. همان طور که مشاهده می‌شود با افزایش نسبت سرعتها در مقیاس لگاریتمی نسبت آسیب سازند کاهش و تراوایی هر یک از لوله‌های موبین فرضی افزایش می‌یابد.

در حساسیت‌سنجی انجام شده، اثر متقابل دو پارامتر مطرح شده بر کاهش نسبی تراوایی سازند مسئله بررسی شد. همان طور که مشاهده می‌شود، با زیاد شدن مقدار θ_0 مقدار تراوایی کاهش می‌یابد (شکل ۶).

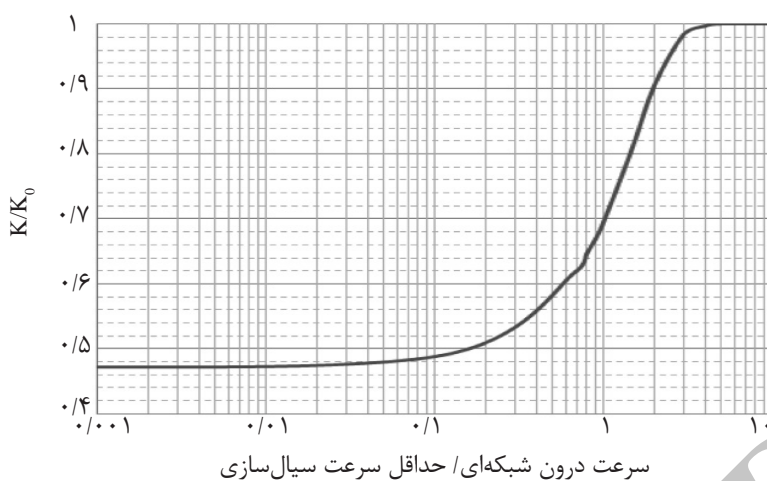
می‌دانیم آلفا و بتا دو پارامتر توزیع احتمال گاما هستند. شکل ۷ نشان‌دهنده یک مطالعه حساسیت‌سنجی روی این دو پارامتر توزیع است. در این نمودار تمام پارامترها غیر از آلفا و بتا ثابت در نظر گرفته شده‌اند. همان طور که دیده می‌شود، با کاهش مقدار آلفا و همچنین کاهش بتا مشکل سازند آسیب‌دیده کمتر خواهد شد. از این رو می‌توان گفت هر چه اندازه ذرات آسفالتین یکنواخت‌تر باشد، رسوب‌گذاری و آسیب سازند از نمونه‌های با ذرات دارای اندازه متنوع کمتر است.



شکل ۶ حساسیت‌سنجی تغییر متقابل تتا و گاما و اثر آن روی تراوایی.



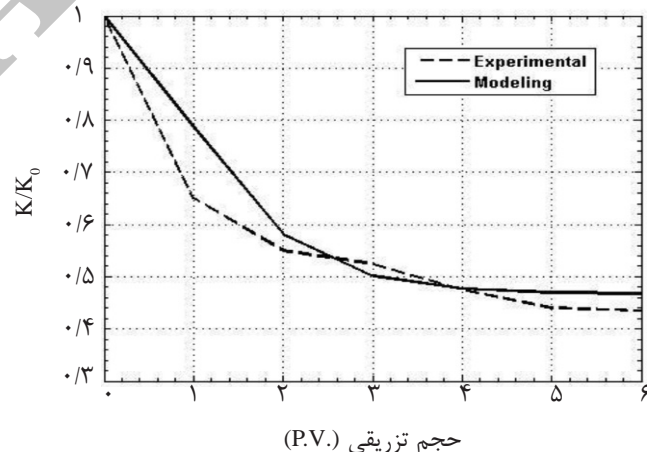
شکل ۷ حساسیت‌سنجی روی مقدار پارامترهای توزیع فراوانی نسبی شعاع ذرات.



شکل ۸ تغییرات تراوایی نسب به حالت غیرآسیب‌دیده بر حسب تغییرات سرعت حرکت سیال درون لوله‌های مویین.

مشاهده می‌شود، با افزایش تزریق سیال شیب نمودار کاهش تراوایی به تدریج کم می‌شود، زیرا مقدار رسوبرگذاری و حمل مجدد ذرات به تعادل نسبی خواهند رسید. با وجود این، با توجه به افزایش مداوم اندازه ذرات آسفالتین در اثر فرآیند لخته شدن و بهم پیوستن، تراوایی به تدریج در تمام مقاطع سنگ کاهش خواهد یافت. مقدار متوسط خطای مطلق پیش‌بینی افت تراوایی در مغازه موردازمايش ۰/۰۳۸ و مقدار متوسط خطای نسبی پیش‌بینی افت تراوایی ۰/۰۰۸ است.

پیش‌بینی مقدار کاهش تراوایی با تزریق سیال
مدل حاضر توانست کاهش نسبی تراوایی در اثر تزریق همزمان نفت آسفالتین دار و آلکان را با موفقیت پیش‌بینی کند. نمودار شکل ۹ نتیجه کار آزمایشگاهی همتفر و همکارانش [۱۸] را روی این نمونه سیال و در شرایط مشابه در کنار نتایج مدل‌سازی پژوهش حاضر نشان می‌دهد. ویژگی‌های سازند و سیال مورداستفاده در این آزمایش را می‌توان در جدول‌های ۱ و ۲ ملاحظه کرد. این آزمایش و مدل‌سازی بر روی مغازه سازند سروک انجام شده و نتایجی قابل قبول داشته است. همان‌طور که



شکل ۹ مقایسه نتایج مدل‌سازی و آزمایشگاهی براساس تحقیق همتفر و همکاران [۱۸] (۲۰۱۱).

نتیجه‌گیری

می‌شود.

۲- با توجه به تحلیلی بودن این مدل می‌توان آن را در شرایط مختلف رسوب‌گذاری استفاده کرد. به عنوان مثال می‌توان با وارد کردن توزیع فراوانی نسبی اندازه ذرات، این مدل را به انواع مختلف سیال‌های نفتی تعمیم داد.

۳- با کوچک شدن اندازه متوسط ذرات آسفالتین، ابتدا تراوایی محیط کاهش خواهد یافت، زیرا مساحت تماس سیال با ذرات و نیروی اضافی در اثر اصطکاک افزایش می‌یابد. اما اگر این کاهش شعاع ذرات به اندازه‌ای باشد که آنها بتوانند دوباره حمل و از محیط خارج شوند، مقدار تراوایی محیط بهبود خواهد یافت.

۴- با افزایش رسوب‌گذاری و تنگ‌تر شدن حفرات، سرعت حرکت سیال در آنها افزایش خواهد یافت و با کنده شدن ذره‌های آسفالتین در اثر اصطکاک ناشی از افزایش سرعت، امکان حمل ذرات به مقاطع بعدی سنگ وجود دارد.

در پژوهش حاضر، مدل هیدرودینامیکی جدیدی برای بررسی کاهش تراوایی سازند در اثر تشکیل رسوب آسفالتین ارائه شد. پارامترهای ورودی لازم برای این مدل، تغییرات توزیع نسبی شعاع ذرات و مشخصات سنگ و سیال هستند. با استفاده از شعاع هیدرولیک و با در نظر گرفتن سه مکانیزم رسوب‌گذاری سطحی، انسداد کامل حفره‌ها و حمل مجدد ذرات آسفالتین، تغییرات نسبی تراوایی تخمین زده شده‌اند. می‌توان نتایج و دست‌آوردهای زیر را برای مدل حاضر در نظر گرفت:

۱- پیش‌بینی مدل‌سازی در شرایط تزریق همزمان آلkan و نفت خام سازند سروک تطبیق قابل توجهی با نتایج آزمایشگاهی دارد. داده‌های آزمایشگاهی که در آنها، علاوه بر افت تراوایی در اثر رسوب آسفالتین، تغییرات شعاع ذرات رسوب‌کرده نیز ثبت شده باشند، بسیار محدوداند و انجام آزمایش‌های بیشتری برای بررسی دقیق روش ارائه شده توصیه

مراجع

- [1]. Najafi I., Mousavi S. M. R., Ghazanfari M. H., Ghotbi C., Ramazani A., Kharrat R. and Amani M., "Quantifying the role of ultrasonic wave on kinetics of Asphaltene aggregation in toluene-pantane mixture," Petroleum Science and Technology, Vol. 29, Issue 9, pp. 966 – 974, 2011.
- [2]. Rastegari K., Svrcek W. Y. and Yarranton H. W., "Kinetics of asphaltene flocculation," Ind. Eng.Chem. Res. 43, pp. 6861-6870, 2004.
- [3]. Gruesbeck C. and Collins R. E., "Entrainment and deposition of fine particles in porous media," SPE Journal, Vol. 22, No. 6, pp. 847-856, 1982.
- [4]. Khilar K. C., Vaidya R. N. and Fogler H. S., "Colloidally-induced fines release in porous media," Journal of Petroleum Science and Engineering, Vol. 4, pp. 213-221, 1990.
- [5]. Civan F., "Improved permeability equation from the bundle-of-leaky-capillary-tubes model," In SPE Production Operations Symposium, 2005.
- [6]. Ali M. A., and Islam M. R., "The effect of asphaltene precipitation on carbonate-rock permeability: an experimental and numerical approach," Old Production & Facilities Vol. 13. No. 3, pp. 178-183, 1998.
- [7]. Leontaritis K., "Asphaltene near-wellbore formation damage modeling," In SPE Formation Damage Control Conference, 1998.

- [8]. Leontaritis K., and Ali Mansoori G., "Asphaltene deposition: a survey of field experiences and research approaches," *Journal of Petroleum Science and Engineering*, Vol. 1.3, pp. 229-239, 1988.
- [9]. Stein P. C., "A study of the theory of rapid filtration of water through sand. Diss. Massachusetts Institute of Technology," Department of Civil and Sanitary Engineering, 1940.
- [10]. McDowell L. M., Hunt J. R. and Sitar N., "Particle transport through porous media," *Water Recourse Research*, Vol. 22, No. 13, pp. 1901-1921, 1986.
- [11]. Zitoun K. B., Sastry S. K. and Guezennec Y., "Investigation of three dimensional interstitial velocity, solids motion and orientation in solid-liquid flow using particle tracking velocimetry," *International Journal of Multiphase Flow* 27, pp. 1397-1414, 2001.
- [12]. Lanfrey P. Y., Kuzeljevic Z. V., and Dudukovic M. P., "Tortuosity model for fixed beds randomly packed with identical particles," *Chemical Engineering Science*, Vol. 65, No. 5, pp. 1891-1896, 2010.
- [13]. Carman P. C., "Flow of gases through porous media," Butterworths Scientific Publications, pp. 12-33, 1956.
- [14]. Rege S. D. and H. Fogler S., "A network model for deep bed filtration of solid particles and emulsion drops," *AIChE Journal*, Wiley Online Library, 1988.
- [15]. McCabe W. L., "Unit Operations of chemical engineering," 7th edition, McGraw Hill Chemical Engineering Series, p. 127, 2005.
- [16]. Ergun S., "Flow through packed columns," *Chemical Engineering Progress*, Vol. 48, pp. 89-94, 1952.
- [17]. Poiseuille J. M., "Recherches experimentales sur le mouvement des liquides dans les tubes de tres-petits diametres," Imprimerie Royale, 1844.
- [18]. Hematfar V., Kharrat R., Ghazanfari M., and Bagheri M., "Modeling and optimization of asphaltene deposition in porous media using genetic algorithm technique," In International Oil and Gas Conference and Exhibition in China, 2010.